

(財)電力中央研究所 正員 繕方信英  
 " " 林正光  
 " 片岡哲之

### 1.はじめに

高性能の熱伝導素子として、ヒートパイプが各方面で注目され、種々の用途が開発されている。土木に関する分野でも、トンネルのつらら防止やアラスカのパイプラインに用いられた例等が報告されている。

ヒートパイプには色々な型式のものがあるが、本質的には液体と気体の相変化に伴う熱の授受を利用してるので、1942年にGM社のGauglerによってその原理が発見され、その後、Grover等によってヒートパイプと名付けられ研究が行なわれたが、脚光を浴びはじめたのは、NASAを中心として人工衛星の放熱あるいは均熱に実用化されて以来といえる。近年、ヒートパイプの熱伝導素子としての性能が注目され、民生用にも研究開発が進められているが、本報告は、ヒートパイプの土木分野への利用の可能性を調べるための一例として、LNG地下タンクのヒートフェンスに用いることを目的として、予備実験を行なった結果をとりまとめたものである。ヒートパイプには種々の特長があるが、ここでは①多量の熱を速かに伝達できること②均熱性がすぐれていること③ヒートパイプ自体は維持費が不要なこと④構造が簡単で可動部がなく故障の心配がないことに注目した。

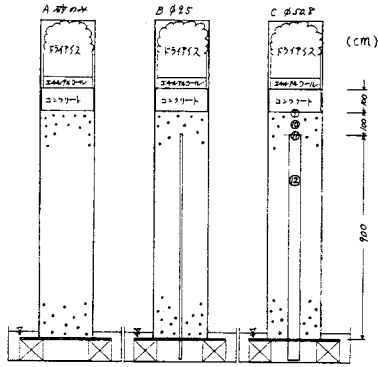
### 2. 実験方法

実験は図-1に示すように、塩ビパイプ(直径約24cm、長さ1.4m)に砂を詰め、砂の中の温度分布を測定してヒートパイプ(以下単にH.P.)の効果を調べた。実験に用いた供試体は、A:砂のみのもの、B:<sup>φ</sup>9.5mmのH.P.を埋設したもの、C:<sup>φ</sup>50.8mmのH.P.を埋設したもの3本である。所期の目的がLNGの冷熱による地盤凍結問題を解決することにあるため、今回の実験では、砂供試体の上部をドライアイスによって冷却して、低温下における砂層中の温度分布と変化を調べた。砂層の上部には約10cm厚さのコンクリートをうち、実験時には、コンクリート表面の温度分布を均一にするために、エチアルコールを深さ約5cm入れてある。なお、砂供試体の下部の温度は、水槽水を流すことによって一定の温度を保つようにしたが(実験①)、<sup>φ</sup>50.8mmのH.P.を埋設した砂層については、実験の終了後、水槽にヒーターを投入し、40~50°Cに加熱する実験(実験②)も行なった。実験のでは、(i) H.P.がある場合とない場合の温度下降度の比較、(ii) 深さ方向の温度分布の比較(均熱性)、(iii) H.P.の寸法の効果を調べた。実験②では、まず、水槽の水を室中にて、H.P.を室中にさらしたままにして、ドライアイスを上部に投入し、約2時間経過後、水槽に約40°Cの湯を入れて加熱した。そして、H.P.による伝熱の速さを調べた。

図-2は、今回の実験に用いたH.P.の最大熱輸送量と温度との関係を示したものである。実験に用いたH.P.は、電気銅焼なましのパイプヘフレオンIIをパイプの容積にして約20%充填したものである。なお、このH.P.にはウイックは使用されていない。

### 3. 実験結果と考察

砂層中の温度分布について……図-3は、砂層中の温度分布を時間



$E_1 = 2.7\%$	$E_2 = 2.7\%$	$E_3 = 2.7\%$
$T_1 = 1.723 \text{ } ^\circ\text{C}$	$T_2 = 1.715 \text{ } ^\circ\text{C}$	$T_3 = 1.734 \text{ } ^\circ\text{C}$
$w = 11.7 \text{ \%}$	$w = 11.7 \text{ \%}$	$w = 11.7 \text{ \%}$
$y_1 = 1.843 \text{ } ^\circ\text{C}$	$y_2 = 1.733 \text{ } ^\circ\text{C}$	$y_3 = 1.552 \text{ } ^\circ\text{C}$
$e = 0.750$	$e = 0.761$	$e = 0.740$
$s_1 = 42.1 \text{ } ^\circ\text{C}$	$s_2 = 41.5 \text{ } ^\circ\text{C}$	$s_3 = 42.7 \text{ } ^\circ\text{C}$

経過毎に示したものである。ドライアイス投入前の温度分布は、C供試体の温度がやや高いが、殆んど同じ傾向を有している。ドライアイス投入後、30分経過した時の温度分布は、3供試体とも殆んど投入前と変らず、砂層の最上部にやや低温域が見られるだけである。1時間後には、砂層上部に供試体毎に温度差が表われ、A,B,Cの順序で温度が低くなっている。また、14時間経過後の温度分布に傾向が明確に認められるが、Aでは冷熱が下方に伝達されにくく、それだけ凍結領域が広がっている。しかし、B,Cにおいては、H.P.の頂部付近までは急激に温度が低下しているが、H.P.が埋設されてより位置より下部においては、上部の冷熱がH.P.によって下方に

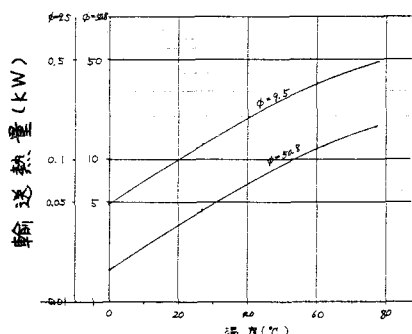


図-2 H.P.の最大輸送熱量と温度

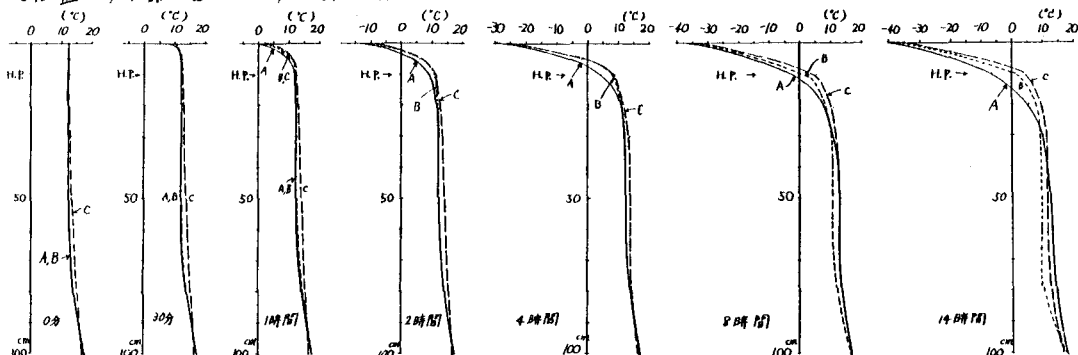


図-3 時間経過毎の砂層中の温度分布 (A:砂層のみ, B:φ=9.5mm H.P., C:φ=50.8mm H.P.)  
伝達されるので、凍結域が少なくなっている。さらに、H.P.が温度分布の均等化に効果があること、H.P.の寸法が温度分布に影響を与えていることが図から認められる。

伝熱速度について……図-4は、実験②の結果を示したものである。ドライアイス投入約2時間経過した状態を初期条件としてH.P.の下端を温水により加熱し、砂層の温度分布の時間毎の変化を示したものである。非常に単時間で熱が伝達される様子がわかる。さらに、H.P.の下端部のサの加熱によって、熱が直接H.P.の上部に伝えられ、しかもH.P.の大部分において、同一水平温度分布を得ている。図-5は、図-1に示す測定位置での温度の変化を示したものである。この図からも伝熱の速さが非常に早いことが認められる。同時に、⑩の図-4 温度分布の変化温度記録は、氷の融解現象が生じていることを示している。

本実験は、H.P.を土中に埋設したとき、どのような挙動を示すかを、特に低温域について調べたものである。結果はまだ予備実験の段階のものであるが、H.P.の伝熱素子としての良好さは示されている。なお、H.P.は伝熱素子としてはすぐれているが、熱を集めたり、放熱したりする能力はない。本報告では、これらについては取り扱っていないが、H.P.を実際に用ひるためには、今後の重要な課題である。

右河電工(株)の岩田善輔氏にはH.P.の技術的なことおよびH.P.の製作に御助力を戴いた。末筆ながら深く感謝致します。

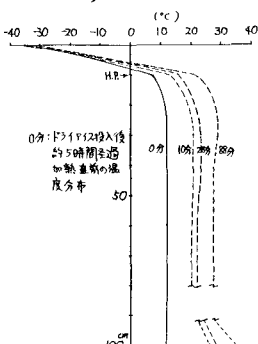


図-4 温度分布の変化

